

# 축소기초모델개념을 이용한 공기윤활 슬라이더 베어링의 최적설계

## An Optimization of Air-Lubricated Slider Bearings by Using Reduced Basis Concept

· 김동인\* · 윤상준\* · 강태식\*\* · 정태건\*\*\* · 최동훈\*\*\*\*

Dong-In Kim, Sang-Joon Yoon, Tae-Sik Kang, Tae-Gun Jeong and Dong-Hoon Choi

**Key Words :** Reduced Basis Concept(축소기초모델개념), Optimum Design(최적설계), Air-Lubricated Slider Bearing(공기윤활 슬라이더 베어링).

### ABSTRACT

In this paper, the optimum designs of air-bearing surface(ABS) are achieved effectively by using reduced basis concept which can reduce the number of design variables although the design space is distended. Generally, the optimization method is more effective than the trial and error. However, the efficiency of the former is largely dependent on the number of the design variables. In order to reduce the number of design variables and increase the efficiency, reduced basis concept is applied. We can define the desired design as a linear combination of basis designs using this concept. From this optimization method with reduced basis concept, we easily obtain the optimum designs of ABS whose target flying heights are 25, 20, 15 nm.

### 1. 서 론

하드디스크 드라이브의 저장 데이터 고밀도화에 따라 디스크와 헤드의 간격이 15nm이하까지 감소하였으며, 이에 따라 낮은 부상높이를 유지하면서 전체 데이터 영역에서 안정된 공기윤활막을 유지하는 공기윤활 베어링의 형상설계가 중요시되고 있다.

그러나 기존의 설계 방식은 대부분 시행착오적 기법(trial and error)으로 설계자의 경험에 의존적이었고, 목표 부상높이나 슬라이더의 운전조건이 변경될 때마다 반복계산 되어야 하는 비효율성을 지니고 있었다. 이에 Yoon과 Choi는<sup>(1)(2)</sup> 국소 최적화 기법(local optimization method)을 사용하여 최적의 부상상태를 지니는 TF(taper flat) 및 TPC(transverse pressure contour) 슬라이더를 설계하였으며, O'Hara와 Bogy는<sup>(3)</sup> 전역 최적화 방법(global optimization method)인 GA(genetic algorithm)와 SA(simulated annealing)를 적용하여 TPC 슬라이더에

대해 부상높이의 변화량을 최소화하는 형상 설계 문제를 수행하였다. 또한 Choi 와 Kang 은<sup>(4)(5)</sup> 동 특성 및 작동성능과 관련된 슬라이더의 설계 요구 사항을 고려한 최적설계를 수행하였다. 그러나 이러한 설계방법들은 설계변수가 많아지면 수치계산량이 기하급수적으로 증가되며, 이에 따라 부상성능에 지배적으로 영향을 주는 소수의 설계변수만을 설계자의 경험이나 시행착오적 방법으로 선택하여 설계영역으로 설정하는 방법을 사용하였다. 따라서 수치계산량의 증가를 피하면서 설계영역을 확장할 수 있는 설계문제의 근사화가 요구된다.

전역 문제 근사화(global problem approximation) 방법 가운데 하나인 축소기초모델개념은 설계 변수가 많을 경우 수치계산량을 효과적으로 감소시키기 위해 사용될 수 있는 방법으로 Pickett과 Rubinstein에<sup>(6)</sup> 의해 제안되었다. 그들은 트러스 구조설계에서 설계변수의 개수가 많아짐에 따라 수치계산량이 크게 증가되는 문제를 해결하기 위해, 설계문제를 여러 시험설계(trial design)들의 최적의 조합을 찾는 문제로 변환하여 설계변수의 개수를 성공적으로 줄였다. Rajamaran과 Schmit는<sup>(7)</sup> 응력, 변형량 및 좌굴 등에 대한 각각의 조건만을 적용한 하위문제(subproblem)들을 사용하여 효과적으로 시험 설계를 얻는 방법을 제시하였다. 또한 설계변수가 많은 익형모델의 효율적인 설계를 위해 축소 기초모델개념을 도입한 Vanderplaats 는<sup>(8)</sup> 시험설계 대신에 기존의 익형들을 기본형상 (basis shape)으로 하여 이들을 겹침(superposition)으로 개선된 형상을 찾고자 하였다.

\* 한양대학교 최적설계신기술연구센터

\*\* 삼성전자 스토리지 사업부

\*\*\* 회원, 건국대학교 기계항공공학부

\*\*\*\* 한양대학교 최적설계신기술연구센터

E-mail : dhchoi@hanyang.ac.kr

Tel : (02) 2290-0478 Fax : (02) 2291-4070

본 연구에서는 기존의 최적설계 방법에서 설계변수가 많아짐에 따라 수치계산량이 크게 증가하는 문제점을 해결하기 위하여 슬라이더 ABS의 설계에 축소기초모델개념을 적용하고, 기존의 몇몇 상용 슬라이더 형상을 기초모델로 하여 목표 부상특성에 맞는 개선된 슬라이더를 제안하고자 한다.

## 2. 정식화 및 수치해석방법

### 2.1 축소기초모델개념의 적용

설계변수를 Fig.1에서 슬라이더 후미의 ABS를 제외한 전영역으로 지정하면, 설계영역내의 ABS와 같은 단의 형상은 28개의 꼭지점으로 표현된다. 따라서 기존의 최적설계 방법에서 설계변수는 각 꼭지점의 x, y 좌표값으로 총 58개가 된다. 그러나 축소기초모델 개념을 적용할 경우, 슬라이더 ABS의 형상을 표현하는 58개의 설계변수  $\{X\}$ 는 다음과 같이  $n$ 개의 기본형상들의 조합으로 대치될  $\Leftarrow$  있다.

$$\{X\} = [A]\{Q\} \quad (1)$$

여기서  $[A]$ 의  $i$  번째 열(column)은  $i$  번째 기본형상을 나타내는 벡터이고,  $Q_i$ 는  $i$  번째 기본형상에 해당하는 조합계수이다 ( $i=1, \dots, n$ ). 따라서 변환된 문제에서는  $Q_i$ 가 설계변수가 되므로 설계변수의 개수가  $n$ 개로 크게 감소된다.

### 2.2 최적화 문제 정식화

액추에이터(actuator)의 회전구동에 의해 슬라이더는 디스크 상의 데이터 영역의 내측과 외측을 반복적으로 이동하게 된다. 슬라이더의 위치에 따른 부상특성 값을 얻기 위해서 데이터 영역이

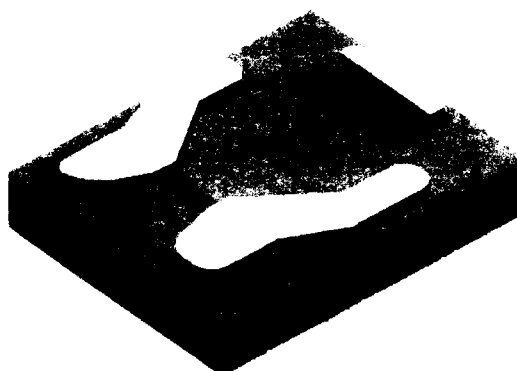


Fig. 1 Current air bearing surface

다섯 등분된다. 그리고 각 위치에서의 부상높이  $h$ , 피치각  $\alpha$ , 룰각  $\beta$ 의 값이 해석을 통해 얻어진다. 여기서 부상높이  $h$ 는 헤드가 부착된 슬라이더의 중앙 후미 부근에서 측정된다.

슬라이더의 설계 요구사항들은 다음과 같다.

- 디스크 반경에 따른 부상높이가 일정하게 유지되어야 한다.
- 디스크 반경에 따른 피치각의 변화가 적정한 범위내에서 유지되어야 한다.
- 디스크 반경에 따른 룰각의 변화가 적정한 범위내에서 유지되어야 한다.

슬라이더의 부상특성에 크게 영향을 미치는 인자로는 ABS의 형상 외에도 리세스텝스(recess depth)  $\delta_1$ 과 같은 단의 두께(shallow step depth)  $\delta_2$ 의 값이 포함된다. 조합계수  $Q_i$ 와 함께  $\delta_1$  및  $\delta_2$ 를 설계변수로 정하면, 위의 설계 요구사항들로부터 다음과 같이 최적화문제가 정식화된다.

minimize

$$F = 100 \times \{(H_{\max} - 1)^2 + (H_{\min} - 1)^2\} \quad (2)$$

subject to

$$\begin{aligned} 1 - A_{\min} &\leq 0, \\ A_{\max} - 1 &\leq 0 \end{aligned} \quad (3a)$$

$$\begin{aligned} B_{\min} - 1 &\leq 0, \\ B_{\max} - 1 &\leq 0 \end{aligned} \quad (3b)$$

$$\Delta^L \leq \Delta_{1,2} \leq \Delta^U, \quad (3c)$$

$$\begin{aligned} -1 &\leq Q_i \leq 1 \\ \sum Q_i &= 1 \end{aligned} \quad (i=1, \dots, n). \quad (3d)$$

여기서  $H_{\max}, H_{\min}, A_{\max}, A_{\min}, B_{\max}, B_{\min}$ 과  $\Delta_1, \Delta_2$ 는 무차원화된 부상상태 및 리세스텝스와 같은 단의 두께를 나타내고 식(4)로 표현되며 하첨자 max와 min은 슬라이더 위치에 따른 각 부상상태의 최대값과 최소값을 의미한다. 목적함수는 데이터 영역 내에서 슬라이더의 위치변화에 따른 목표부상높이  $h^*$ 로부터 벗어난 정도를 나타내며 식(2)로 표현된다. 또한, 피치각 및 룰각이 트랙탐색시 주어진 영역을 벗어나지 않도록 식(3a), 식(3b)와 같이 구속조건함수가 정의 되었다. 또한 식(3c)는 무차원화된 리세스텝스와 같은 단 두께의 경계 구속조건(side constraint)이다. 마지막으로 ABS가 슬라이더 상에서 합당한 영역을 차지

하도록 하기 위해 식(3d)와 같이 설계변수의 구속 조건식이 추가되었고,  $Q_n$ 은 종속변수로 처리되었다.

$$\begin{aligned} H_{\max} &= \frac{h_{\max}}{h^*}, & H_{\min} &= \frac{h_{\min}}{h^*}, \\ A_{\max} &= \frac{\alpha_{\max}}{\alpha^u}, & A_{\min} &= \frac{\alpha_{\min}}{\alpha^l}, \\ B_{\max} &= \frac{\beta_{\max}}{\beta^u}, & B_{\min} &= \frac{\beta_{\min}}{\beta^l}, \\ \Delta_1 &= \frac{\delta_1}{\delta_1^0}, & \Delta_2 &= \frac{\delta_2}{\delta_2^0}. \end{aligned} \quad (4)$$

### 2.3 수치해석 방법

축소기초모델개념을 이용한 형상 최적설계의 전체적인 알고리즘은 Fig.2 와 같다. 먼저 기본형상들에 대한 데이터 및 작동조건 등 수치계산에 필요한 모든 데이터와 설계변수의 초기값이 입력된다. 그리고 주어진 데이터와 설계변수 값이 해석기에 입력되어 결정된 슬라이더의 형상에 따른 부상상태가 계산된다.<sup>(9)</sup> 또한 해석 결과는 최적화 모듈로 입력되어 DOT 의 SQP(sequential quadratic programming)가 적용된 MMFD(modified method of feasible directions)방법에 의해 설계변수가 생성된다.<sup>(10)</sup> 새로운 설계변수의 값은 다시 해석기로 받아들여지고 위와 같은 작업은 설계변수가 최적값에 수렴될 때까지 반복되어

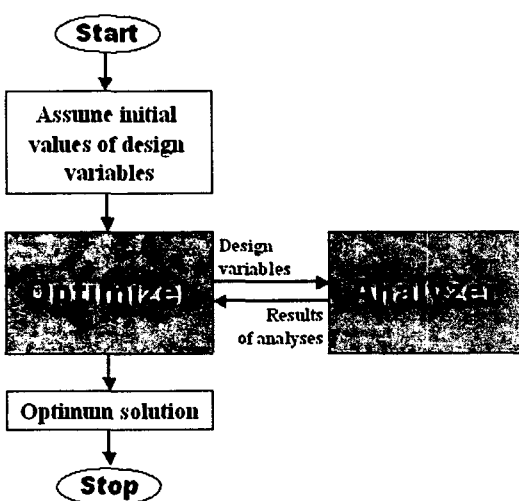


Fig. 2 Flow chart for the design optimization

최적값을 얻으면 프로그램이 종료된다.

### 3. 결과 및 고찰

초기 ABS 설계는 Fig. 3에 도시 되었고, 작동 조건은 Table 1과 같다. 여기서 정적피치각(static pitch angle)과 정적롤각(static roll angle)은 각각 제조시에 기본적으로 갖게 되는 피치각과 롤각을 의미한다. 피치각의 하한값  $\alpha^l$ 과 상한값  $\alpha^u$ 는 각각 100  $\mu\text{rad}$  과 200  $\mu\text{rad}$ , 롤각의 하한값  $\beta^l$ 과 상한값  $\beta^u$ 는 헤드(head)가 슬라이더 후미의 중앙에 부착되어 있으므로 -10  $\mu\text{rad}$  과 10  $\mu\text{rad}$  으로 정해졌다. 또한 단의 제작 구배도 고려되었다.<sup>(8)</sup>

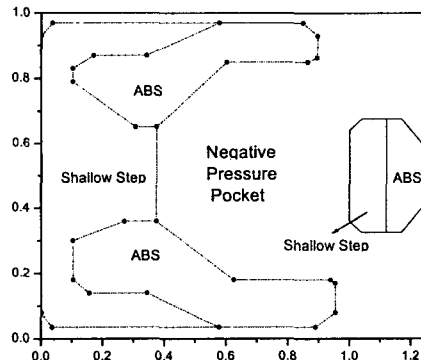


Fig. 3 Initial design and design space

Table 1 Configuration and operating conditions

| Specifications                             | Values                       |
|--|------------------------------|
| Slider size ( $l \times b \times t$ ) [mm] | $1.23 \times 1.0 \times 0.3$ |
| Disk Rotational speed [rpm]                | 5400                         |
| Crown [nm]                                 | 24.0                         |
| Camber [nm]                                | 8.2                          |
| Twist [nm]                                 | 0.0                          |
| Gram load [g]                              | 3.0                          |
| Static pitch angle [deg]                   | 1.0                          |
| Static roll angle [deg]                    | 0.0                          |
| Pitch offset [mm]                          | 0.0                          |
| Roll offset [mm]                           | 0.0                          |
| Ambient pressure [Pa]                      | $1.0135 \times 10^5$         |
| Viscosity of air [kg/m/s]                  | $1.806 \times 10^{-5}$       |

설계영역은 데이터의 기록 및 재생을 위한 헤드가 부착되는 후미 중앙의 ABS를 제외한 전영역으로 Fig. 3에 점선으로 표시되었다. 설계변수는 리세스텝스  $\delta_1$ 과 얇은 단의 두께  $\delta_2$ , 그리고 Fig. 4에 도시된 각 기본형상들의 조합계수  $Q_i$  ( $i=1, \dots, 3$ )로 총 5개가 된다. 여기서 기본형상들은 모두 상용 슬라이더 모델이고, 4번째 기본형상이 초기값으로 사용되었다. 따라서 설계변수의 초기값 즉,  $\delta_1^0$ 과  $\delta_2^0$ 은 각각  $1.80 \mu\text{m}$ 와  $0.25 \mu\text{m}$ , 조합계수  $\{Q^0\}$ 는  $\{0 \ 0 \ 0\}$ 으로 정해졌으며,  $Q_4$ 는 종속 변수로 처리되었다. 본 논문에서는 목표부상높이를  $25 \text{ nm}$ ,  $20 \text{ nm}$ ,  $15 \text{ nm}$ 로 변경하여 임의의 몇몇 경우에 대한 최적설계를 수행하였다.

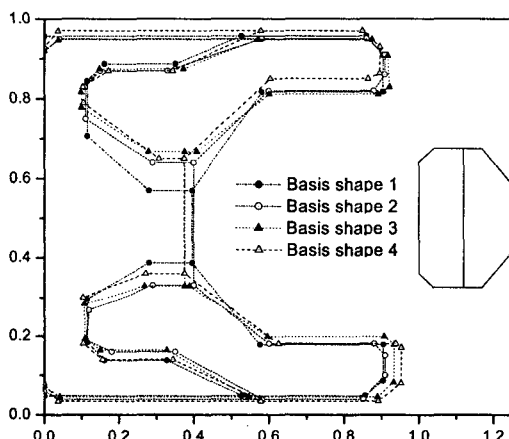


Fig. 4 Basis shapes

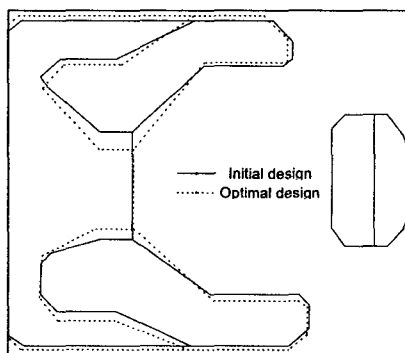


Fig. 5 Initial and optimal design (target FH=25 nm)

Table 2 Optimum values (target FH=25 nm)

| $\Delta_1$ | $\Delta_2$ | $Q_1$ | $Q_2$  | $Q_3$  |
|------------|------------|-------|--------|--------|
| 1.086      | 0.553      | 0.428 | -0.100 | -0.903 |

### 3.1 25 nm 슬라이더

목표 부상높이가  $25 \text{ nm}$ 인 경우에 대한 슬라이더 ABS의 최적설계는 Fig. 5에 도시 되었고, 5개의 설계변수의 최적값은 Table 2과 같다, 또한 최적화과정에서 6번의 반복 실행이 수행되었고 방향탐색과 선탐색을 위한 함수계산은 총 49회가 수행되었으며, 이때 구속조건은 모두 만족되었다. 개선된 설계에서는 첫번째 기본형상의 영향을 크게 받아 내외측 ABS의 앞부분이 초기설계에서보다 보강되고 뒷부분이 슬라이더의 외측으로 밀려나가서 결과적으로 부압영역(negative pressure pocket)이 강화되었다. 그리고 부상높이에 크게 영향을 미치는 인자인 얇은 단의 두께가 매우 큰 폭으로 변하였다. 또한 기존의 형상최적설계와 비교하여 설계변수의 수가 감소함에 따라 방향탐색회수 및 함수계산량이 급격히 줄어들었음을 알 수 있었다.

### 3.2 20 nm 슬라이더

목표 부상높이가  $20 \text{ nm}$ 인 경우에 대해서 슬라이더 ABS의 최적설계는 Fig. 6에 도시 되었고, Table 3과 같은 설계변수의 최적값을 갖는다. 최적화과정에서 10번의 반복 실행이 수행되었고 방향탐색과 선탐색을 위한 함수계산은 총 80회가 수행되었으며, 구속조건은 모두 만족되었다. 개선된 슬라이더는 외측 ABS의 앞부분이 눈에 띄게 강화되고 내측 ABS의 뒷부분이 좁아져 결과적으로 비대칭성이 강조되었다. 마찬가지로 적은 회수의 함수계산으로 최적값을 얻을 수 있었다.

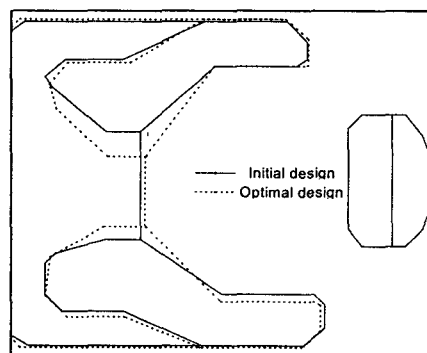


Fig. 6 Initial and optimal design (target FH=20 nm)

Table 3 Optimum values (target FH=20 nm)

| $\Delta_1$ | $\Delta_2$ | $Q_1$ | $Q_2$ | $Q_3$  |
|------------|------------|-------|-------|--------|
| 1.073      | 0.443      | 0.611 | 0.284 | -0.958 |

### 3.3 15 nm 슬라이더

목표 부상높이가 15 nm 인 경우에 대한 슬라이더 ABS 의 최적설계는 Fig. 7 에 도시 되었으며, 설계변수의 최적값은 Table 4 와 같다. 최적화과정에서 16 번의 반복 실행이 수행되었고 방향탐색과 선탐색을 위한 함수계산은 총 125 회가 수행되었으며 구속조건에 위배됨이 없었다.

결과적으로 축소기초모델개념을 적용함으로써 Fig. 8 에서 보는 것과 같이 목표 부상성능에 만족할 만큼 개선된 슬라이더를 얻을 수 있었다. 동일한 설계영역의 설정 하에서, 기존의 슬라이더 설계에 사용됐던 최적설계 방법과 축소기초모델개념을 적용한 경우의 수치계산량을 설계변수의 개수로 비교해보면 그 효율성을 쉽게 확인할 수 있다. 기존의 방법에서는 리세스deps, 얇은 단의 두께와 꼭지점들의 좌표값을 포함하여 총 60 개의 설계변수가 설정된다. 그러나 4 개의 기본형상들로 축소기초모델개념을 사용할 경우 총 5 개의 설계변수만으로 개선된 슬라이더의 형상을 얻을 수가 있어 매우 효율적이다.

축소기초모델개념을 적용할 경우 기본형상들의 조합만으로 새로운 설계를 얻기 때문에 도달할 수 있는 형상에는 한계가 있다. 본 논문에서는 설계변수인 조합계수의 하한값을 -1로 가정하여 조합 가능한 형상의 영역을 확장하였다. 또한 이러한 한계는 향후 보다 다양한 기본형상의 추가선정으로 손쉽게 극복될 수 있을 것이다.

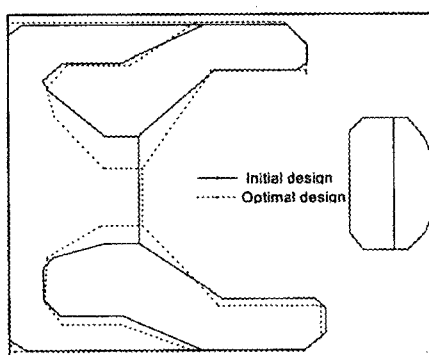
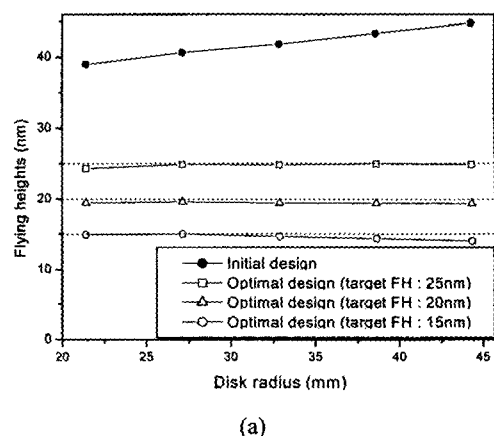


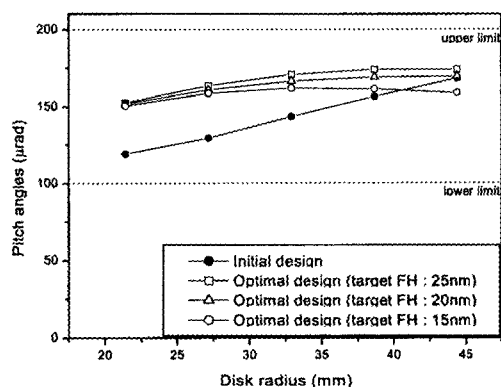
Fig. 7 Initial and optimal design (target FH=15 nm)

Table 4 Optimum values ( target FH=15 nm )

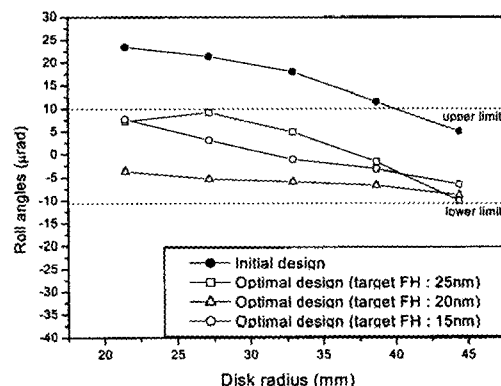
| $\Delta_1$ | $\Delta_2$ | $Q_1$ | $Q_2$  | $Q_3$  |
|------------|------------|-------|--------|--------|
| 1.093      | 0.341      | 0.906 | -0.102 | -0.936 |



(a)



(b)



(c)

Fig. 8 Flying characteristics of the initial and optimal designs : (a) flying heights (b) pitch angles (c) roll angles

## 4. 결 론

본 연구에서는 수치계산량의 증가를 피하면서 설계영역을 설계자가 원하는 전영역으로 확장할 수 있도록 축소기초모델개념을 도입하였으며, 이를 다양한 목표 부상높이를 지닌 슬라이더 ABS 설계에 적용하였다. 이를 위해 디스크 전 기록영역에서의 부상높이와 퍼치각 및 롤각의 특성이 고려된 설계요구사항을 기반으로 최적화 문제를 정식화 하였으며, 리세스맵스와 얇은 단의 두께 및 4 개의 상용 슬라이더의 조합계수를 통한 슬라이더 ABS 형상을 결정하는 수치해석 방법을 제시하였다. 수치해석 결과 25, 20, 15nm 슬라이더에 대하여 설계요구사항을 모두 만족하는 최적의 형상을 알 수 있었다.

초기설계보다 우수한 부상성능을 지니는 최적 해를 매우 적은 횟수의 함수계산으로 수행함으로써 본 연구에서 적용된 축소기초모델개념의 효율성을 입증할 수 있었다. 따라서 제안된 방법은 기존의 설계 결과들을 다량 보유하고 있는 산업체에서 개선 된 성능을 갖는 설계를 하고자 할 때 효과적일 것으로 보인다.

## 후 기

이 연구는 한국과학재단 지정 최적설계신기술연구센터의 지원에 의해 수행되었습니다.

## 참고문헌

- (1) Yoon, S. J., and Choi, D. H. 1995, "Design optimization of the taper-flat slider positioned by a rotary actuator," ASME Journal of Tribology, 117, 588-593
- (2) Yoon, S. J., and Choi, D. H. 1997, "An optimum design of the transverse pressure contour slider for enhanced flying characteristics," ASME Journal of Tribology, 119, 520-524
- (3) O'Hara, M. A., Bogy, D. B., 1995, "Robust design optimization techniques for ultra-low flying sliders," IEEE Transactions on Magnetics, 31, 2955-2957
- (4) Choi, D. H., Kang, T. S., Jeong, T. G., 1999, "An optimum design of the sub-ambient pressure shaped rail sliders on flying characteristics considering the high altitude condition," IEEE Transactions on Magnetics, 35, 2424-2426
- (5) Kang, T. S., Choi, D. H., Jeong, T. G., 2001, "Optimal design of HDD air-lubricated slider bearings for improving dynamic characteristics and operating performance," ASME Journal of Tribology, 123, 541-547.
- (6) Pickett, R. M. Jr., Rubinstein, M. F., Nelson, R. B. 1973, "Automated Structural Synthesis Using a Reduced Number of Design Coordinates," AIAA J. 11, 489-494
- (7) Rajamaran, A., Schmit, L.A., Jr. 1981, "Basis reduction concepts in large scale structural synthesis," Eng. Opim. 5, 91-104
- (8) Vanderplaats, G. N., 1979, "Efficient algorithm for numerical airfoil optimization," J. Aircraft 16, 842-847
- (9) 강태식, 1999, "동특성 및 작동성능 향상을 위한 HDD 공기윤활 슬라이더 베어링의 최적설계" 박사학위논문, 한양대학교 대학원
- (10) Vanderplaats, G. N., 1995, "DOT design optimization tools users manual," Vanderplaats research & development, Inc., 1767 S. 8<sup>th</sup> street, Suite M-210, Colorado Springs, Co.